Vol. 16. No. 02, Mei 2025: 81-90

http://publikasi.mercubuana.ac.id/index.php/jtep-ISSN: 2086-9479 e-ISSN: 2621-8534

# Analisis Koordinasi Proteksi *Recloser* dan *Fuse* pada Jaringan IEEE 34 menggunakan Metode *Fuzzy* Mamdani

Mochammad Nawawi Ulumudin<sup>1\*</sup>, Isti Fauziah<sup>1</sup>, Muhammad Hafizd Ibnu Hajar<sup>1</sup>

<sup>1</sup>Teknik Elektro, Universitas Mercu Buana, Jakarta \*mulumudin1993@gmail.com

Abstrak—Konsumsi listrik perkapita di Indonesia meningkat setiap tahunnya. Peningkatan konsumsi listrik ini mempengaruhi sistem pemasokan kelistrikan, sehingga memberikan dampak yang besar ketika terjadi gangguan. Salah satu permasalahan yang terjadi dari saluran distribusi yaitu gangguan hubung singkat yang mempengaruhi tingkat keandalan. Bertambahnya arus gangguan mempengaruhi kinerja proteksi terutama fuse cut out sebagai alat pemutus rangkaian yang sering digunakan ketika terjadi arus lebih. Tentunya, ini memberikan dampak pada recloser yang digunakan untuk koordinasi fuse saving. Koordinasi proteksi ini tidak lepas dari hubungan penentuan setting proteksi. Nilai setting time dial pada waktu kerja relai recloser yang tepat akan menciptakan keamanan pada fuse. Namun, fuse yang diamankan memiliki jumlah yang banyak, sehingga timbul ketidakpastian dalam menentukan setting. Pendekatan yang memungkinkan adalah dengan menggunakan metode fuzzy mamdani untuk menghasilkan setting yang tepat. Media yang digunakan dalam penelitian berpengaruh terhadap keberhasilan dalam masukan setting. Dengan demikian, jaringan IEEE (Institute of Electrical and Electronics Engineers) 34 node test feeder vang telah divalidasi dengan nilai rata-rata error sebesar 2,3% simulasi load flow analysis digunakan sebagai media penelitian. Metode Fuzzy Mamdani dalam penelitian ini membuktikan bahwa metode ini dapat meningkatkan keandalan proteksi pada jaringan distribusi listrik. Nilai kesalahan waktu kerja operasi proteksi perbandingan perhitungan dengan simulasi dari Matlab sebesar 14,52% untuk Overcurrent Relay dan 12,72% untuk Ground Fault Relay. Penggunaan metode fuzzy mamdani dalam melakukan menentukan nilai setting time dial (Time Multiple Setting) recloser pada koordinasi proteksi recloser dan fuse menghasilkan koordinasi yang baik saat terjadi gangguan hubung singkat dengan pengaman kurva koordinasi proteksi pada batasan pengamanan fuse.

Kata Kunci—Fuzzy Mamdani, IEEE 34, Fuse, Recloser

DOI: 10.22441/jte.2025.v16i2.003

# I. PENDAHULUAN

Kebutuhan energi listrik pada perkembangan dunia saat ini mengalami peningkatan pesat. Tercatat bahwa konsumsi listrik

perkapita di negara Indonesia terus meningkat sejak tahun 2019. Pada tahun 2022 realisasi konsumsi listrik rata-rata setiap orang di Indonesia mencapai 1.173 kWh/kapita di tahun 2022 [1]. Angka ini meningkat sebesar 7,58% dari tahun 2019 dengan realisasi konsumsi listrik hanya sebesar 1.084 kWh/kapita [2]. Perbandingan peningkatan konsumsi listrik ini sangat meningkat pesat bahkan untuk rentang waktu satu tahun.

Peningkatan konsumsi listrik ini akan mempengaruhi keseluruhan sistem secara umum dalam memasok listrik ke tempat-tempat terjauh dari jaringan pembangkit lateral, sehingga memberikan efek domino dan dampak yang besar ketika terjadi gangguan. Salah satu masalah utama yang biasanya terjadi pada saluran distribusi adalah gangguan hubung singkat yang berpengaruh pada level [3]. Gangguan yang sering terjadi disebabkan oleh pohon dan petir, sehingga menyebabkan kerusakan pada peralatan proteksi [4]. Resistensi terhadap gangguan yang mengakibatkan kegagalan pasangan recloser dan sekering secara sengaja memperjelas krusialitas dilema dalam keamanan [5]. Peningkatan arus gangguan ini mempengaruhi kinerja proteksi terutama fuse putus sebagai perangkat pemutus arus yang sering digunakan ketika terjadi arus lebih atau tegangan lebih di ujung lateral feeder. Tentu saja hal ini memberikan efek domino pada recloser yang biasa digunakan untuk koordinasi pengaman fuse. Oleh karena itu, diperlukan perancangan setting yang baik untuk menciptakan keandalan koordinasi proteksi. Pendekatan yang memungkinkan untuk penentuan setting ini adalah dengan menggunakan metode fuzzy untuk menghasilkan setting yang tepat. Dengan banyaknya fuse yang diamankan oleh recloser, maka kita dapat mengetahui setting paling baik manakah yang bisa diajukan terhadap ketidakpastian area kesalahan gangguan. Penelitian ini pendekatan penentuan mengangkat setting dengan menggunakan metode fuzzy Mamdani untuk menghasilkan setting yang tepat.. Pada penelitian ini akan dibahas mengenai analisa penentuan setting yang tepat dengan metode fuzzy menggunakan perangkat lunak Matlab yang kemudian diaplikasikan pada jaringan IEEE 34 dengan menggunakan perangkat lunak ETAP 12.6.0.

## II. PENELITIAN TERKAIT

Penelitian yang dirancang oleh Amin Yazdanine dengan algoritma perlindungan baru untuk dalam mengatasi dampak kesalahan ketahanan dengan *Cloud Enery Storage System* (CESS) terhadap koordinasi perlindungan *recloser-fuse* menghasilkan kompensasi kegagalan penghematan sekering yang disebabkan oleh pemasangan CESS berbasis sinkronisasi dan masalah resistensi gangguan pada proteksi *recloser* dan

fuse di jaringan distribusi multiple-MG (microgid). Ini berarti bahwa dengan menggunakan algoritma yang diusulkan untuk proteksi recloser-fuse, kebutuhan untuk mengganti fuse jika terjadi pemasangan CESS dihilangkan. Selain itu, algoritma yang diusulkan meningkatkan operasi recloser dan fuse pada gangguan resistif dan beban yang hilang berkurang [5]. Penelitian ini tidak menggambarkan recloser yang mengamankan banyaknya fuse, namun hanya menggambarkan satu koordinasi recloser-fuse dilakukan dengan berbagai titik gangguan hubung singkat.

Pereira dalam penelitiannya melakukan pemodelan *recloser* untuk simulasi temporal jaringan distribusi di Simulink/Matlab dan membuktikan bahwa algoritma digital yang dibuat pada *recloser* melalui matlab bekerja sesuai dengan urutan kerja saat terjadi kesalahan dengan pengujian berbagai kasus baik urutan kerja cepat maupun lambat [6]. Algoritma hasil yang ditampilkan dari penelitiannya hanya terkait dengan *sequence* kerja tanpa adanya pembuktian dari penggambaran kurva koordinasi proteksi terhubung.

Peningkatan teknik koordinasi recloser-fuse berdasarkan Modification Factor (MF) dilakukan dengan memodifikasi karakteristik waktu-arus cepat (fast time-current characteristics) dari recloser yang disajikan. Faktor modifikasi adalah rasio impedansi  $Z_{lpreset}$  terhadap  $Z_{lcal}$ . Telah diamati bahwa nilai Z1<sub>cal</sub> berubah karena penggabungan DG (Distributed Generation) dalam DN (Distribution Network), yang pada gilirannya mengubah nilai MF. Hasil yang diperoleh dari simulasi dan prototipe laboratorium menunjukkan bahwa skema yang diusulkan menjunjung tinggi koordinasi yang tepat antara recloser dan fuse bahkan dalam kasus penetrasi DG yang tinggi dan rendah di DN. Hal ini dicapai dengan mentransfer status DGCB (Distributed Generation Circuit Breaker) melalui komunikasi bandwidth rendah/frekuensi rendah antara recloser dan DG [7].

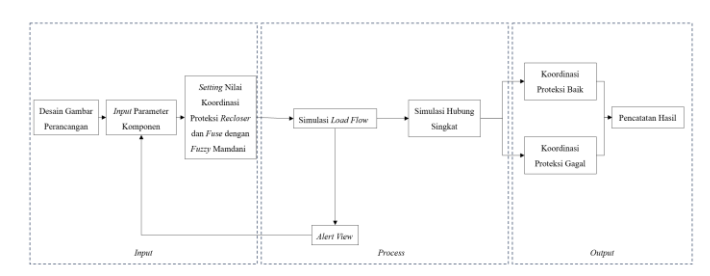
#### III. METODOLOGI PENELITIAN

Penelitian ini dilakukan pada jaringan IEEE 34 node test feeder menggunakan software ETAP 12.6.0 dengan objek penelitian koordinasi proteksi recloser dan fuse. Fuzzy Mamdani akan digunakan sebagai metode untuk menentukan setting nilai TMS (Time Multiple Setting) recloser. Metode ini akan dilakukan dengan dua cara yaitu perhitungan dan simulasi pada perangkat lunak Matlab. Kemudian, kedua nilai setting akan divalidasi dengan perbandingan error antara perhitungan dan simulasi. Terakhir, koordinasi proteksi yang telah diproyeksikan dengan penentuan setting TMS pada komponen recloser akan dilakukan pengujian hubung singkat dengan perangkat lunak ETAP 12.6.0 serta akan melihat urutan sistem bekerja secara aktual kerja menggunakan sequence of operation dan star protective device.

## A. Blok Diagram

Blok diagram pada penelitian ini terbagi menjadi 3 proses bagian utama, yaitu *input*, proses dan *output*. blok diagram dimulai dengan melakukan perancangan seluruh komponen pada perangkat lunak ETAP 12.6.0. Selanjutnya, komponen yang telah dirancang diberi nilai *input* sesuai parameter yang telah diperoleh dari tinjauan literasi serta

typical data yang ada. Input ini mencakup secara keseluruhan mulai dari parameter komponen satu per satu hingga penentuan setting dari proteksi recloser dan fuse yang nantinya akan diolah terlebih dahulu menggunakan metode fuzzy pada perangkat lunak Matlab. Pada bagian proses, seluruh perancangan jaringan radial dilakukan simulasi load flow untuk memastikan tidak adanya alert view yang menunjukan ketidakseimbangan beban serta kinerja sistem. Pengujian dilanjutkan dengan melakukan simulasi hubung singkat pengujian sequence of operation guna memastikan urutan kerja aman pada proteksi recloser dan fuse sebagaimana diperlihatkan pada gambar 1.

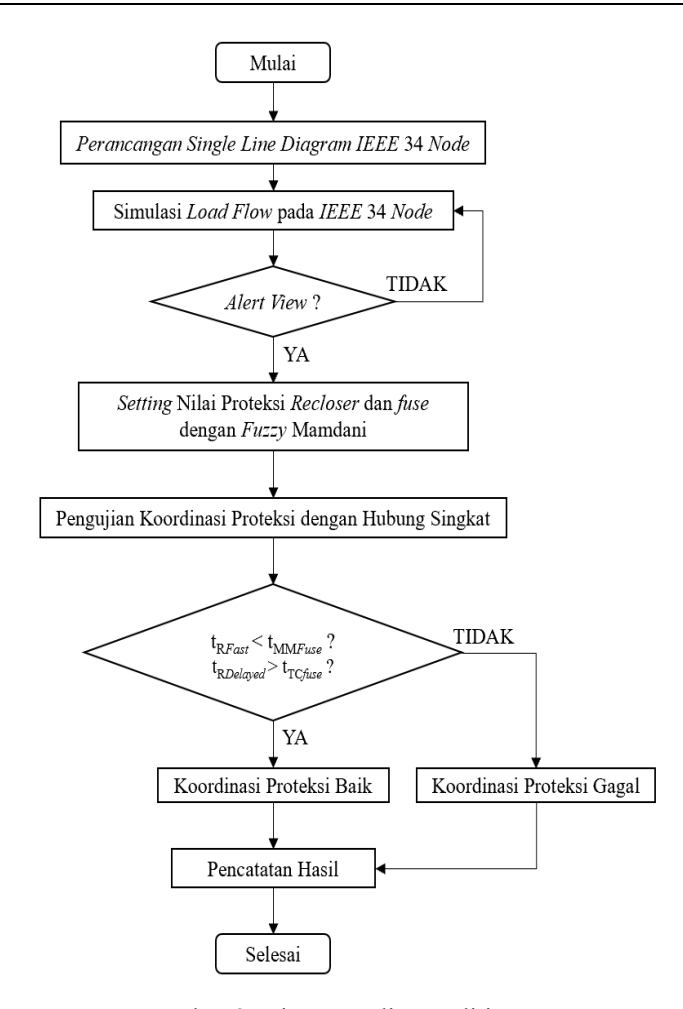


Gambar 1. Blok Diagram

## B. Diagram Alir Penelitian

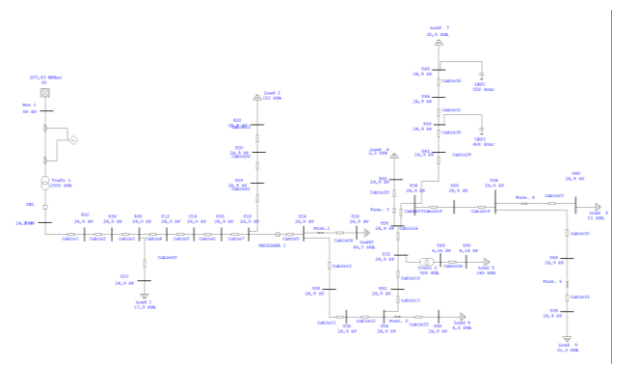
Alur penelitian yang akan dilakukan pada penelitian ini terdapat *input* serta *output* yang ditampilkan dalam langkahlangkah diagram alir pada gambar 2. Tahapan pada penelitian ini dijabarkan sebagai berikut:

- 1. Tahap pertama, melakukan *input* parameter setiap rangkaian yang digunakan untuk merancang *single line diagram* IEEE 34 *node test feeder*:
- 2. Tahap kedua yaitu simulasi *load flow* pada IEEE 34 *node test feeder* untuk memastikan bahwa jaringan radial dapat digunakan dengan menggunakan perangkat lunak ETAP 12.6.0
- 3. Tahap ketiga yaitu perhitungan menentukan nilai setting, khususnya setting TMS *recloser* dengan metode *fuzzy* serta melakukan simulasi perbandingan dengan menggunakan perangkat lunak MATLAB.
- 4. Tahap keempat yaitu membuktikan pengaruh dari singkat pada kinerja *fuse saving area* (pengamanan *recloser* terhadap *fuse*) dengan simulasi pengujian hubung singkat pada perangkat lunak ETAP 12.6.0.



Gambar 2. Diagram Alir Penelitian

# C. Perancangan Sistem Single Line Diagram IEEE 34 Node Test Feeder



Gambar 3. Penempatan Koordinasi Proteksi *Recloser* dan *Fuse* Pada *Single Line Diagram* IEEE 34 *Node Test Feeder* 

Perancangan single line diagram dilakukan dengan satu persatu dengan mulai melakukan pemasangan pada lembar kerja ETAP 12.6.0 mulai dari pembangkit hingga beban pada setiap ujung lateral. Gambar 3 menunjukkan posisi recloser yang ditempatkan diantara node 816 (titik 7) dan 824 (titik 8). Node tersebut menjadi pemisah antara wilayah fuse blowing area dan fuse saving area. Selain itu, terpasang 5 buah fuse

pada *fuse saving area* yang diantaranya 3 buah *fuse* berdekatan dengan langsung dengan *recloser* sedangkan 2 *fuse* lainnya terletak dititik terjauh jaringan dari *grid*. Pada perancangan ini berisi tentang berbagai macam komponen dengan mulai dari grid, line, beban, kapasitor, transformator serta komponen yang paling utama adalah proteksi dari *recloser* dan *fuse*.

Pada perancangan ini tenting berisi berbagai macam komponen dengan mulai dari grid, line, beban, kapasitor, transformator serta komponen yang paling utama adalah proteksi dari *recloser* dan *fuse*. Maka dari itu, *setting* dilakukan sebagai berikut untuk *recloser* dan *fuse* [8].

$$t = \frac{\left[\frac{l_{hs}}{l_{Set}}\right]^{\alpha} - 1}{\beta}$$

TMS = 
$$t \times \left[ \frac{\left[ \frac{I_{hs}}{I_{Set}} \right]^{\alpha} - 1}{\beta} \right]$$

Pada rumus diatas diperlukan  $I_{set}$  dengan pengambilan data sebagai berikut [9].

Setting OCR :  $I_{set}$  diambil 1,05 s/d 1,3 ×  $I_n \setminus$ 

Setting GFR :  $I_{set}$  diambil  $0.4 \times I_n$ 

Keterangan:

TMS : Time Multiple Setting

t : Waktu Kerja Relai

I<sub>hs</sub> : Arus Hubung Singkat

I<sub>set</sub> : Arus *Setting* Relai

 $\alpha, \beta$  : Konstanta

Koordinasi yang baik tentunya diciptakan dari perhitungan pemilihan *fuse cut out* yang baik. Oleh karena itu, berdasarkan nilai arus beban nominal, penentuan rating yang digunakan sebagai berikut [10].

 $I_{fuse} = k \times I_n$ 

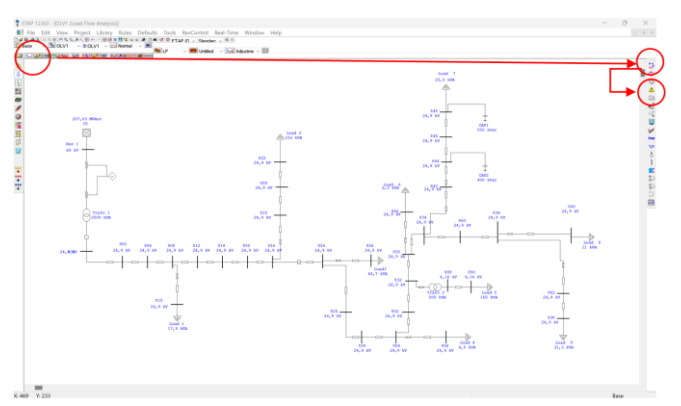
Keterangan:

I<sub>fuse</sub> : Rating Fuse Cut Out k : Nilai koefisien (1,02 s/d 1,3) I<sub>n</sub> : Arus Beban Nominal

D. Simulasi Load Flow

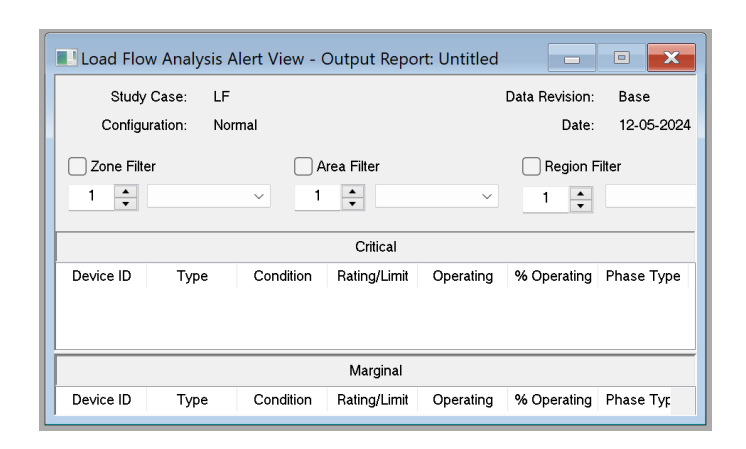
Simulasi *load flow* dilakukan untuk mengetahui aliran daya sebagai proses dasar dalam studi kasus mengenai penyetelan perangkat. Selain itu, Simulasi ini juga dilakukan sebagai langkah validasi terhadap semua komponen ketika beroperasi secara normal. Peran utama yang paling penting dalam simulasi ini adalah pengoperasian pada *alert view* sebagai pengujian kebenaran bahwa sistem telah dirancang

dengan sesuai. Gambar 4. menunjukkan proses simulasi *load flow* dengan 3 prosesnya yang ditunjukkan oleh anak panah. Pada saat melakukan proses *load flow analysis*, perlu dilakukan running *load flow* dengan *run load flow*. Setelah itu, cek pada *alert view* untuk memastikan keterangan tidak adanya komentar *critical* yang harus diperbaiki.



Gambar 4. Operasi Simulasi Load Flow

Informasi yang ditampilkan dari *alert view* saat dilakukannya *run load flow*. Gambar 5 menampilkan beberapa informasi seperti *device* ID, tipe komponen, rating komponen yang digunakan, nilai persen operasi, tipe fasa, serta yang paling penting adalah kondisi yang terjadi pada sistem tersebut. Kondisi *undervoltage* ataupun *overvoltage* sangat memungkinkan terjadi pada *critical* saat *load flow* memberikan instruksi bahwa sistem harus segera diperbaiki.

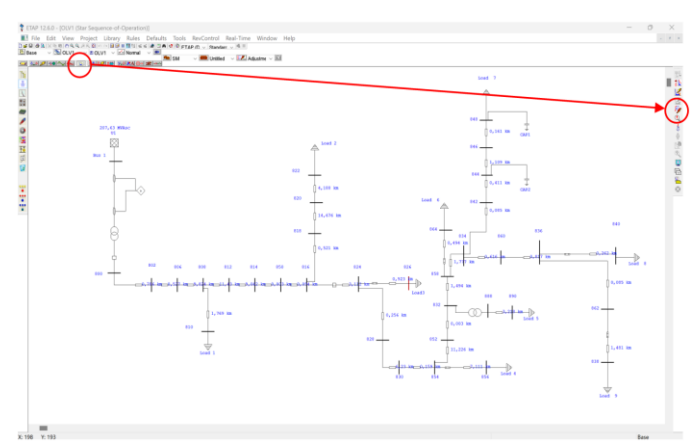


Gambar 5. Operasi Simulasi Load Flow Analysis Alert View

# E. Simulasi Short Circuit pada Sistem IEEE 34 Node Test Feeder pada Aplikasi ETAP 12.6.0

Pengujian hubung singkat dilakukan di titik-titik setelah koordinasi recloser dan fuse pada bagian fuse saving. Gangguan yang diberikan yaitu bentuk gangguan hubung singkat. gambar 6, representasi proses dalam melakukan penyisipian gangguan hubung singkat. Protective Device Coordination sebagai langkah awal yang memiliki fungsi menampilkan alat untuk melakukan Fault Insertion (PD Sequence of Operation). Fitur tersebut akan memberikan gangguan terhadap jaringan yang

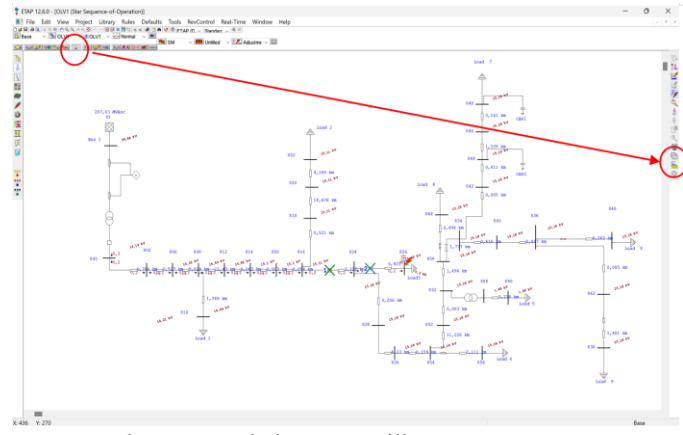
menyebabkan perangkat proteksi bekerja. Proteksi akan mengamankan gangguan hubung singkat tiga fasa dan akan menampilkan urutan kerja dari proteksi sebagaimana *setting* koordinasi proteksi yang telah ditentukan



Gambar 6. Pengujian Hubung Singkat Tiga Fasa oleh *Fault Insertion (PD Sequence of Operation)* 

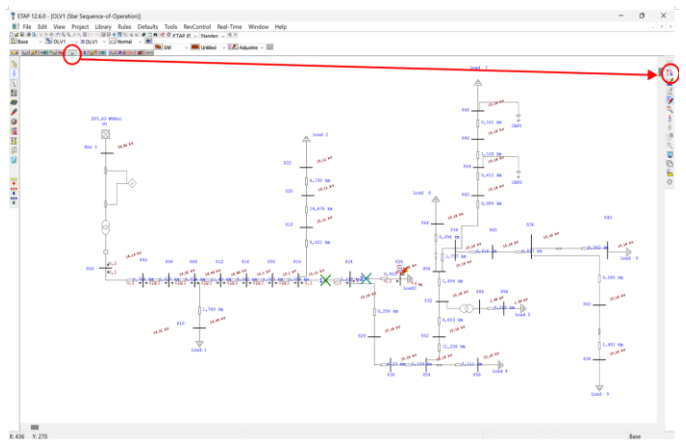
# F. Simulasi Menampilkan Hasil Keluaran Pengujian Hubung Singkat pada Aplikasi ETAP 12.6.0

Gambar 7 menunjukkan langkah awal untuk menampilkan Report Manager. Star-Protective Devide Coordination pada toolbar yang ditunjukkan pada langkah pertama akan mengantarkan pada tool selanjutnya yaitu Report Manager.



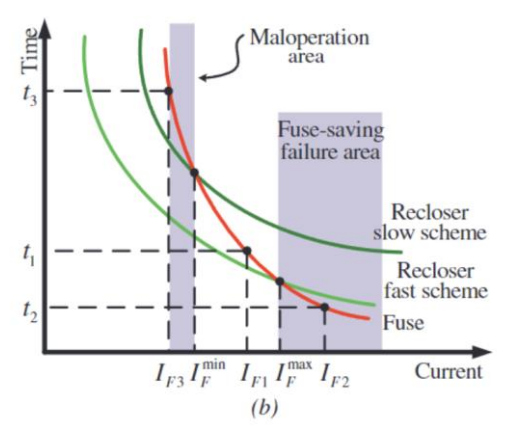
Gambar 7. Langkah menampilkan Report Manager

Proses *star view manager* sebagai aksi untuk menampilkan kurva proteksi saat terjadinya hubung singkat. *Star view manager* pada gambar 8 akan memperlihatkan sistem kerja koordinasi *recloser* dan *fuse* dalam bentuk kurva. Pada bagian ini akan terlihat nilai besarnya arus hubung singkat memotong garis dari sistem koordinasi proteksi.



Gambar 8. Star View Manager

Skema proteksi recloser dan fuse pada gambar 9 berlaku untuk arus gangguan antara  $I_{Fmin}$  dan  $I_{Fmax}$  [5]. Oleh karena itu, jika terjadi arus gangguan yang sama dengan  $I_{F1}$ , skema cepat dari recloser mengoperasikan tindakan penutupan untuk membersihkan gangguan transien sebelum waktu peleburan sekring. Selain itu, jika ini adalah gangguan permanen, fuse akan membersihkannya sebelum pengoperasian penutup kembali berdasarkan skema pelambatannya.



Gambar 9. Kurva Koordinasi *Recloser* dan *Fuse* pada Skema *Fuse Saving* [5]

Kegagalan penghematan *fuse* dan kegagalan pengoperasian *recloser* tidak terjadi untuk kesalahan ini. Perencanaan koordinasi proteksi ditunjukkan persamaan berikut [11].

$$t(I_{Fi}) > t(I_{RA}) \ \forall \ I_{Fi} \begin{cases} I_{F\,min} \le I_{F\,i} \le I_{F\,max} \\ I_{F\,min} \ , \ I_{F\,max} > 0 \end{cases}$$

Ket:  $t(I_{Fi}) = waktu operasi fuse$ 

 $t(I_{RA})$  = waktu operasi pemutusan cepat *recloser* 

Setiap arus gangguan yang melalui *fuse* (I  $_{\rm F}$  i), waktu operasi *fuse* t(I $_{\rm Fi}$ ) akan lebih besar dari waktu operasi cepat dari *recloser* t(I  $_{\rm RA}$ ).

$$t(I_{RBB}) > t(I_{Fi}) \ \forall \ I_{Fi} \begin{cases} I_{F\,min} \leq I_{Fi} \leq I_{F\,max} \\ I_{F\,min}, \ I_{F\,max} > 0 \end{cases}$$

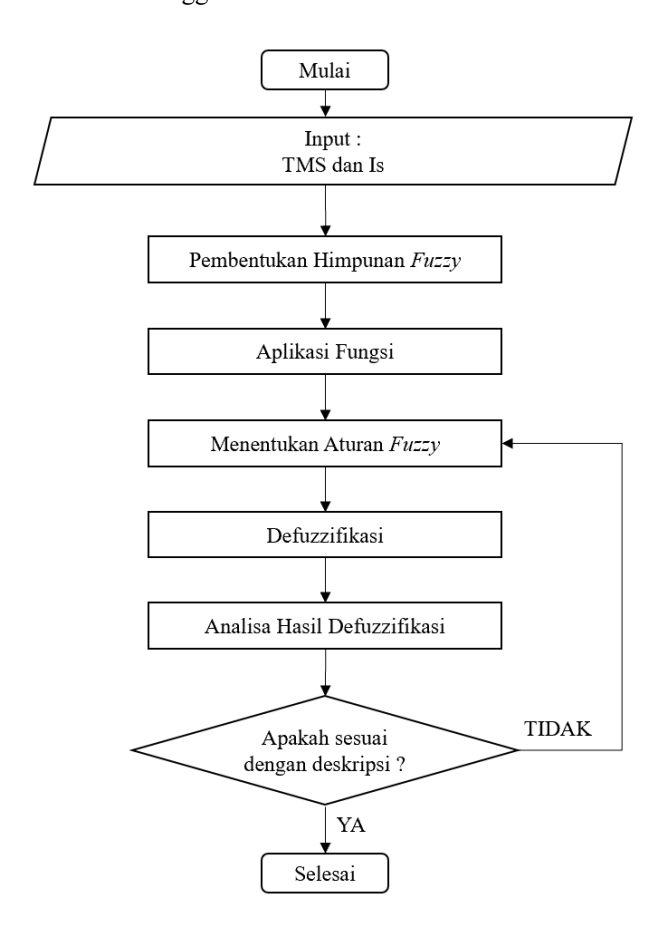
Ket:  $t(I_{Fi}) = waktu operasi fuse$ 

 $t(I_{RBB})$  = waktu operasi pemutusan lambat *recloser* 

Setiap arus gangguan yang melalui *fuse* (I  $_{\rm F}$  i), waktu operasi *fuse* t(I  $_{\rm F}$  i) tidak melampaui waktu operasi lambat dari *recloser* t(I  $_{\rm R}$  BB).

## G. Perancangan Sistem Fuzzy Mamdani

Berdasarkan gambar 10 bahwa pembentukan sistem *fuzzy* diawali dengan pembentukan himpunan *fuzzy* dari data TMS dan nilai arus hubung singkat. Setelah itu, dilakukan proses fungsi implikasi yang dimana hasil dari himpunan *fuzzy* akan dicari nilai implikasi berdasarkan aturan yang dibuat. Kemudian, nilai implikasi yang terpenuhi akan dilakukan komposisi aturan *fuzzy* dengan fungsi max berbasis defuzzifikasi menggunakan metode *centroid*.



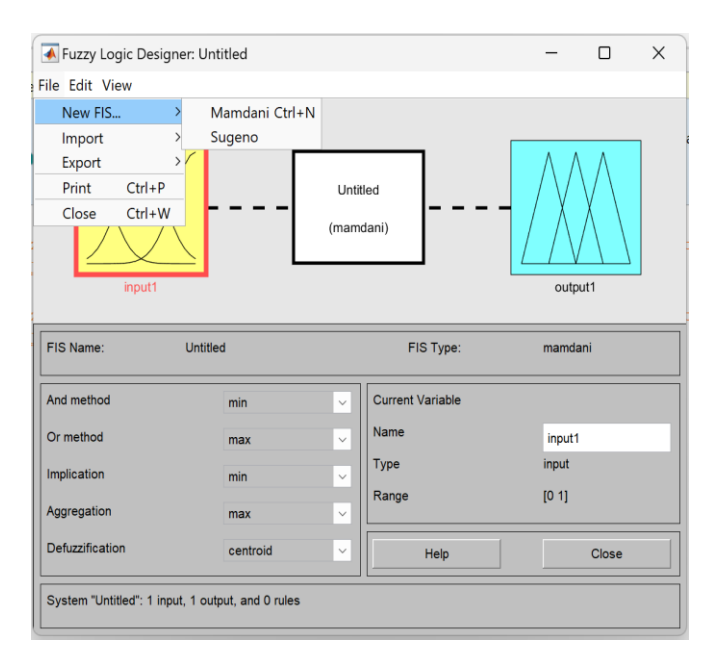
Gambar 10. Diagram Alir Sistem Fuzzy

## H. Simulasi Metode Fuzzy Aplikasi Matlab

Metode *fuzzy* mamdani akan memberikan pendekatan yang sempurna dalam menentukan pengaturan pada recloser karena konsep dari metode ini sangat toleran, sangat sederhana dan mudah dimengerti [12][13]. Logika *fuzzy* dapat membentuk dan mengaplikasikan pengalaman-pengalaman dari para ahli secara langsung tanpa harus melalui proses pelatihan [14]. *Fuzzy* merupakan subkategori logika yang menerapkan derajat keanggotaan pada suatu himpunan sehingga keanggotaannya tidak hanya bernilai benar/salah, yang berarti secara bahasa berarti kabur dan memiliki ketidakpastian dengan rentang nilai

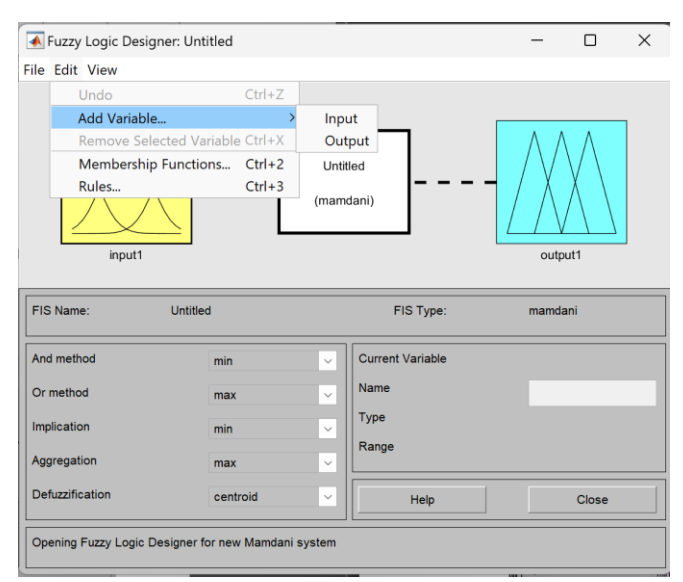
yang masing-masing memiliki derajat keanggotaan antara 0 sampai dengan 1[15]. Sistem *fuzzy* diawali dengan pembentukan himpunan *fuzzy* dari data TMS dan nilai arus hubung singkat. Setelah itu dilakukan proses fungsi implikasi dimana hasil dari himpunan *fuzzy* tersebut akan dicari nilai implikasi berdasarkan aturan yang dibuat. Kemudian, nilai implikasi yang terpenuhi akan dilakukan komposisi aturan *fuzzy* dengan fungsi max berbasis defuzzifikasi menggunakan metode centroid.

Metode Fuzzy Mamdani dianalisa pada matlab menggunakan 5 fasilitas Graphical User Interface (GUI), yaitu fuzzy inference system (FIS) editor dan membership function editor sebagai pembacaan dan modifikasi serta tiga sisanya yaitu rule editor, rule viewer, surface viewer sebagai pembacaan tanpa adanya modifikasi. Gambar 11 menunjukkan fuzzy logic designer sebagai pilihan fuzzy inference system (FIS) terhadap metode yang akan digunakan. Metode ini dapat dipilih dengan melakukan pilihan file dengan new FIS metode mamdani.



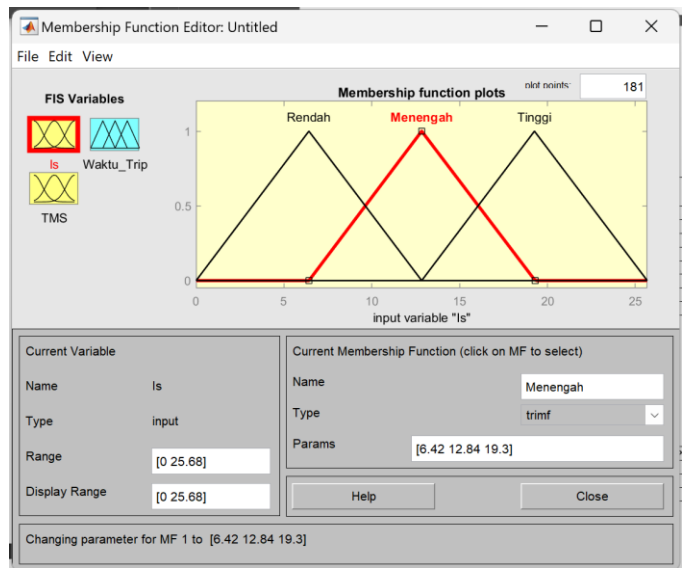
Gambar 11. Fuzzy Logic Designer

Penambahan jumlah variabel dilakukan dengan toolbar edit yang akan memunculkan add variabel untuk melakukan penambahan variabel input yang ditunjukkan pada gambar 12.



Gambar 12. Penambahan Variabel

Gambar 13. menampilkan *input* dan *output* variabel yang digunakan dalam pengujian metode *fuzzy* mamdani yang digunakan dalam aplikasi Matlab. Penamaan dari *input* maupun *output* bisa dilakukan pengubahan dengan cara mengubah nama di bagan *name*. Terdapat 2 *input* untuk membentuk keluaran *setting recloser* Is dan TMS pada setiap bagian baik OCR maupun GFR serta *ouput* yaitu waktu trip relai.



Gambar 13. Input dan Output Variabel

## IV. HASIL DAN ANALISA

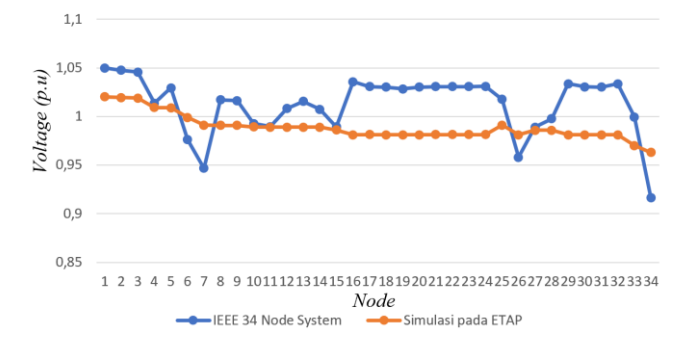
Hasil penelitian disajikan disajikan dari beberapa utama yaitu pengujian *load flow analysis*, pengujian metode *fuzzy* mamdani, dan pengujian gangguan hubung singkat. Simulasi *Short Circuit* pada Sistem IEEE 34 *Node Test Feeder* pada Aplikasi ETAP 12.6.0

## A. Hasil Pengujian Load Flow Analysis

Data tegangan p.u yang diperoleh dari simulasi yang dilakukan pada ETAP 12.6.0. Hasil kalkulasi keseluruhan

didapatkan nilai sebesar 2,3%. Tegangan p.u hasil simulasi masih dalam kisaran rentang data yang diberikan atas ketentuan dari IEEE 34 dengan nilai sebesar 0,95 < *voltage* p.u simulasi < 1,05. Simulasi pada ETAP 12.6.0 dengan data IEEE 34 *node* memperlihatkan bahwa hasil dari perancangan IEEE 34 *Node test feeder* pada perangkat lunak ETAP 12.6.0 ini telah disimulasikan dengan baik dan dapat digunakan untuk simulasi berkelanjutan sebagaimana gambar 14.

Grafik (Node System Node) = Simulasi Pada ETAP 12.6.0



Gambar 14. Grafik Perbandingan *Voltage* p.u Data Sistem Node IEEE 34 dengan Simulasi ETAP 12.6.0

### B. Hasil Pengujian Simulasi Metode Fuzzy Mamdani

1. Waktu Kerja OCR (Overcurrent Relay) pada Recloser

Perhitungan waktu kerja (t.<sub>kerja</sub>) pada setiap *node* memberikan hasil secara menyeluruh mengenai waktu operasi yang terjadi dengan pembubuhan TMS perhitungan. nilai waktu kerja OCR (t.<sub>kerja</sub>) yang dihasilkan dari perhitungan TMS sebelumnya. Nilai t<sub>kerja</sub> ini akan menjadi bahan perbandingan dengan *setting* dari metode *fuzzy* Mamdani di aplikasi matlab. Hasil perhitungan tersebut dinyatakan pada tabel 1.

Tabel 1. Tabel Hasil Perhitungan Nilai Waktu Kerja OCR Recloser pada Fuse Saving Area Hubung Singkat 3 Fasa

Koordinasi Proteksi ( <i>Fuse</i> Saving Area)		Node IHS 3		I <sub>SET</sub>	TMS	t <sub>kerja</sub> (S)
	Fus e		1282			(3)
	1	826	233	1,05	0,733	0,597
Recloser	2	856	180	0,105	1,034	1,230
	3	864	164	0,105	1,018	1,152
	4	840	160	0,315	0,849	0,801
	5	838	156	0,735	0,724	0,582

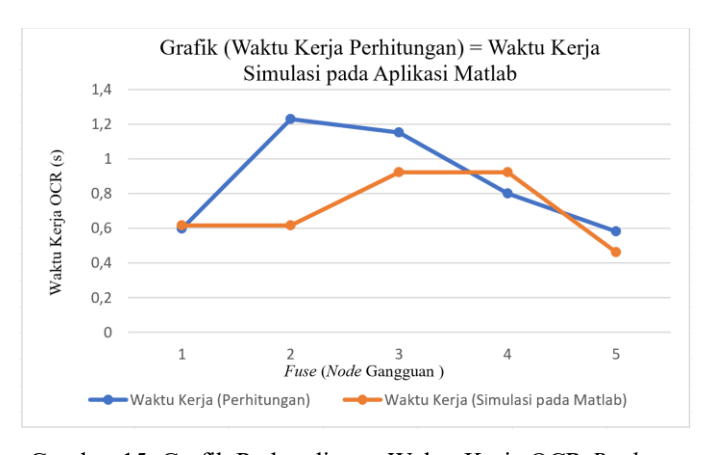
Perbandingan waktu kerja OCR *Recloser* dari hasil perhitungan konvensional dan waktu kerja dengan metode *fuzzy* mamdani memiliki hasil yang berbeda setiap koordinasi antara *recloser* dan lima buah *fuse* yang terpasang. Kondisi *error* tertinggi terjadi pada sistem koordinasi *recloser* dan *fuse* 2 dengan nilai *error* 50%. Sedangkan *error* terendah terjadi pada sistem koordinasi *recloser* dan *fuse* 1 sebesar 3,01%. Namun, meskipun terdapat rentang *error* yang cukup besar antara hasil perhitungan dan hasil metode *fuzzy* mamdani pada sistem

koordinasi *recloser* dan *fuse* 2, nilai rata-rata *error* pada seluruh sistem koordinasi bernilai 14,5% yang berarti masih tergolong kecil. Kemudian, data yang ditampilkan pada tabel 4.18 dibuat grafik koordinasi waktu kerja relai. Perbandingan waktu kerja operasi OCR pada *recloser* ditampilkan pada tabel 2.

Tabel 2. Perbandingan Hasil Waktu Kerja OCR *Recloser* Perhitungan Konvensional dengan Metode *Fuzzy* Mamdani pada Aplikasi Matlab

Koordinasi Proteksi Recloser dan 5 Fuse	TMS	t. <sub>kerja</sub> Perhitungan (s)	t.kerja Metode Fuzzy (s)	Error (%)
Fuse 1	0,733	0,597	0,615	3,01508
Fuse 2	1,034	1,230	0,615	50
Fuse 3	1,018	1,152	0,922	19,96528
Fuse 4	0,849	0,801	0,922	15,1061
Fuse 5	0,724	0,582	0,461	20,79038
	14,52689			

Berdasarkan gambar 15, koordinasi *recloser* dengan *fuse* 2 memiliki perbandingan rentang hasil waktu yang cukup besar dengan perbedaan berkisar 0,6 s, akan tetapi sistem untuk koordinasi *fuse* 1, 3, 4 dan 5 memiliki rentang perbedaan nilai yang cukup kecil berkisar 0,1 s hingga 0,2 s. Oleh karena itu, perbandingan error yang bernilai kecil ini dapat menjadi acuan serta justifikasi penghitungan *setting* relai yang di lakukan sudah tepat dengan hasil waktu kerja relai OCR yang sensitif dan selektif.



Gambar 15. Grafik Perbandingan Waktu Kerja OCR *Recloser* Perhitungan Konvensional dan Metode *Fuzzy* Mamdani

2. Waktu Kerja GFR (Ground Fault Relay) pada Recloser

Perhitungan waktu kerja (t.<sub>kerja</sub>) pada setiap *node* memberikan hasil secara menyeluruh mengenai waktu operasi yang terjadi dengan pembubuhan TMS perhitungan. nilai waktu kerja GFR (t.<sub>kerja</sub>) yang dihasilkan dari perhitungan TMS sebelumnya. Nilai t<sub>kerja</sub> ini akan menjadi bahan perbandingan dengan *setting* dari metode *fuzzy* Mamdani di aplikasi matlab. Hasil perhitungan tersebut dinyatakan pada tabel 3.

Tabel 3. Hasil Perhitungan Nilai Waktu Kerja GFR *Recloser* pada *Fuse Saving Area* Hubung Singkat Satu Fasa ke Tanah

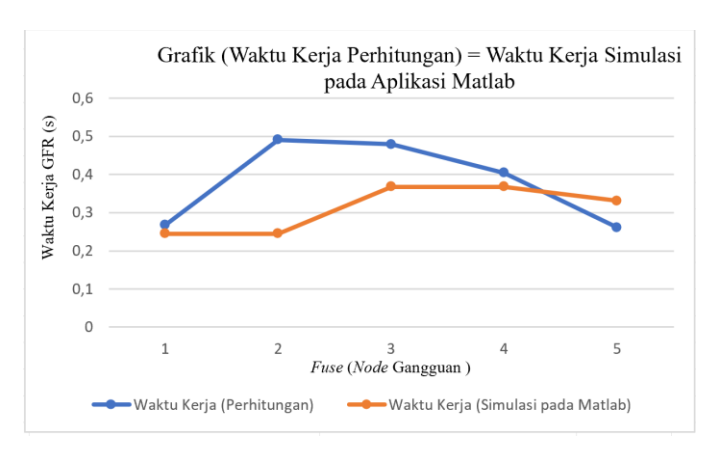
Koordinasi Proteksi (Fuse Saving Area)		I <sub>HS</sub>		Iset	TMS	t <sub>kerja</sub> (S)
	Fus e		tanah			(3)
	1	200	233	0,4	0,283	0,267
Recloser	2	152	180	0,04	0,384	0,491
	3	139	164	0,04	0,379	0,479
	4	132	160	0,12	0,322	0,404
	5	129	156	0,28	0,279	0,261

Perbandingan waktu kerja GFR *Recloser* dari hasil perhitungan konvensional dan waktu kerja dengan metode *fuzzy* mamdani memiliki hasil yang berbeda setiap koordinasi antara *recloser* dan lima buah *fuse* yang terpasang. Kondisi *error* tertinggi terjadi pada sistem koordinasi *recloser* dan *fuse* 2 dengan nilai *error* 50,10%. Sedangkan *error* terendah terjadi pada sistem koordinasi *recloser* dan *fuse* 1 sebesar 8,23 %. Nilai rata-rata *error* bernilai 12,72%. Perbandingan waktu kerja operasi OCR pada *recloser* ditampilkan pada tabel 4.

Tabel 4. Perbandingan Hasil Waktu Kerja GFR *Recloser* Perhitungan Konvensional dengan Metode *Fuzzy* Mamdani pada Aplikasi Matlab

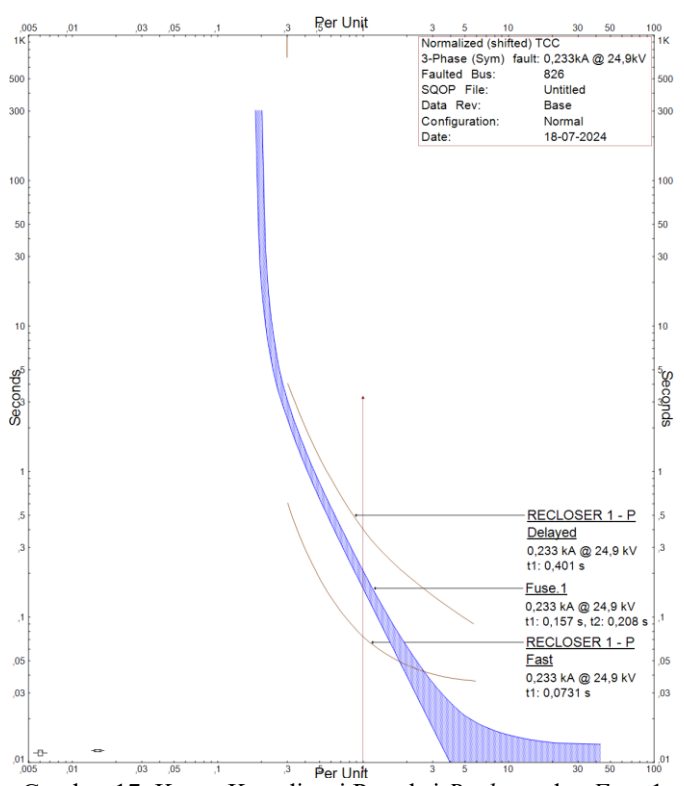
Koordinasi Proteksi Recloser dan 5 Fuse	TMS	t. <sub>kerja</sub> Perhitungan (s)	t.kerja Metode Fuzzy (s)	Error (%)
Fuse 1	0,283	0,267	0,245	8,2397
Fuse 2	0,384	0,491	0,245	50,10183
Fuse 3	0,379	0,479	0,368	23,17328
Fuse 4	0,322	0,404	0,368	8,910891
Fuse 5	0,279	0,261	0,331	26,8199
	12,72116			

Berdasarkan gambar 16, koordinasi *recloser*dengan *fuse* 2 masih memiliki perbandingan rentang hasil waktu kerja yang cukup besar pada GFR dengan perbedaan berkisar 0,25 s, namun sistem untuk koordinasi *fuse* 1, 3, 4 dan 5 memiliki rentang perbedaan nilai yang cukup kecil berkisar 0,1 s. Oleh karena itu, perbandingan error yang bernilai kecil ini dapat menjadi acuan serta justifikasi penghitungan *setting* relai yang di lakukan sudah tepat dengan hasil waktu kerja relai GFR yang sensitif dan selektif.



Gambar 16. Grafik Perbandingan Waktu Kerja GFR *Recloser* Perhitungan Konvensional dan Metode *Fuzzy* Mamdani

# C. Hasil Kurva Koordinasi pada Simulasi Star Protective Device Hubung Singkat Tiga Fasa



Gambar 17. Kurva Koordinasi Proteksi *Recloser* dan *Fuse* 1 Gangguan Hubung Singkat 3 Fasa di *Node* 826

Kurva koordinasi yang ditampilkan merupakan kurva hasil dari simulasi star protective device pada perangkat lunak ETAP 12.6.0. Kurva ini akan menampilkan seberapa baik koordinasi proteksi setelah input nilai TMS pada recloser dengan kelima fuse yang terpasang pada penelitian ini. Berdasarkan gambar 4.17 menunjukkan kurva koordinasi proteksi recloser dan fuse 1 saat terjadi gangguan hubung singkat pada titik 826 proteksi berjalan dengan baik. Terlihat titik gangguan gambar 4.16 menyatakan bahwa kurva recloser cepat (A-instantaneous recloser curve) memotong kurva fuse (fuse curve) dan

membentuk titik perpotongan C minimum melting dengan t( $I_{Fuseminimummelting}$ ) > t( $I_{Reclosercepat}$ ) yang bernilai 0,255 s > 0,0731 s. Selain itu, terdapat perpotongan waktu kurva lambat recloser (B-time delay recloser curve) dengan kurva fuse (fuse curve) yang membentuk titik perpotongan total clearing dengan t( $I_{Recloserlambat}$ ) > t( $I_{Fusetotalclearing}$ ) yang bernilai 0,401 s > 0,331 s. Titik Perpotongan minimum melting dengan total clearing terbentuk batas limit sebagai interpretasi dari waktu pemutusan dalam koordinasi proteksi recloser dan fuse .

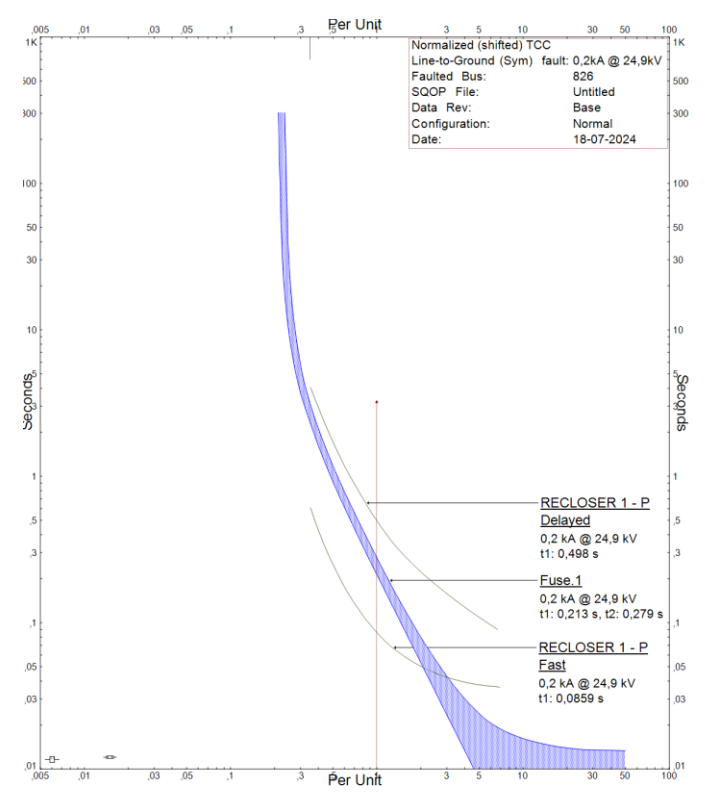
Seluruh koordinasi recloser dengan fuse dilakukan dengan 5 pengujian hubung singkat 3 fasa untuk mewakili kelima koordinasi proteksi yang terpasang pada jaringan IEEE 34. Berdasarkan tabel 5, waktu pemutusan koordinasi proteksi recloser dan fuse dengan TMS input yang telah diuji pada analisis fuzzy mamdani sebelumnya pada gangguan hubung singkat 3 fasa menampilkan hasil yang baik. Sebagaimana sistem limit pada koordinasi dengan  $t(I_{Fuseminimummelting}) > t(I_{Reclosercepat})$  dan  $t(I_{Recloserlambat}) > t(I_{Fusetotalclearing})$ . Dengan demikian, hasil dari TMS pengujian metode fuzzy mamdani berhasil menciptakan kondisi koordinasi yang baik antara dua proteksi pada pengujian hubung singkat 3 fasa.

Tabel 5. Hasil Koordinasi Waktu Pemutusan Koordinasi Proteksi *Recloser* dan *Fuse* pada Simulasi *Star Protective Device* Hubung Singkat Tiga Fasa

Fault	Recloser (s)		Fuse	Kondisi	
Node	Cepat	Canat		Total Clearing	120114151
826	0,0731	0,401	0,157	0,208	Baik
856	0,0969	0,584	0,263	0,343	Baik
864	0,109	0,678	0,317	0,411	Baik
840	0,117	0,471	0,353	0,456	Baik
388	0,12	0,768	0,368	0,476	Baik

# D. Hasil Kurva Koordinasi pada Simulasi Star Protective Device Hubung Singkat Fasa ke Tanah

Berdasarkan gambar 18 menunjukkan kurva koordinasi proteksi *recloser* dan *fuse* 1 saat terjadi gangguan hubung singkat satu fasa ke tanah pada titik 826 proteksi berjalan dengan baik. Terlihat titik gangguan gambar 4.16 menyatakan bahwa kurva *recloser* cepat (A-*instantaneous recloser curve*) memotong kurva *fuse* (*fuse curve*) dan membentuk titik perpotongan C *minimum melting* dengan t(I<sub>Fuseminimummelting</sub>) > t(I<sub>Reclosercepat</sub>) yang bernilai 0,213 s > 0,0859 s. Selain itu, terdapat perpotongan waktu kurva lambat *recloser* (B-time delay recloser curve) dengan kurva *fuse* (*fuse* curve) yang membentuk titik perpotongan *total clearing* dengan t(I<sub>Recloserlambal</sub>) > t(I<sub>Fusetotalclearing</sub>) yang bernilai 0,498 s > 0,279 s. Titik Perpotongan *minimum melting* dengan *total clearing* terbentuk batas limit sebagai interpretasi dari waktu pemutusan dalam koordinasi proteksi *recloser* dan *fuse*.



Gambar 18. Kurva Koordinasi Proteksi Recloser dan *Fuse* 1 Gangguan Hubung Singkat Fasa ke Tanah Fasa di *Node* 826

Berdasarkan tabel 6, waktu pemutusan koordinasi proteksi recloser dan fuse dengan TMS input yang telah diuji pada analisis fuzzy mamdani sebelumnya pada gangguan hubung singkat satu fasa ke tanah menampilkan hasil yang baik. Sebagaimana sistem limit pada koordinasi dengan  $t(I_{Fuseminimummelting}) > t(I_{Reclosercepat})$  dan  $t(I_{Recloserlambat}) > t(I_{Fusetotalclearing})$ . Dengan demikian, hasil dari TMS pengujian metode fuzzy mamdani berhasil menciptakan kondisi koordinasi yang baik antara dua proteksi pada pengujian hubung singkat satu fasa ke tanah.

Tabel 8.Hasil Koordinasi Waktu Pemutusan Koordinasi Proteksi *Recloser* dan *Fuse* pada Simulasi *Star Protective Device* Hubung Singkat Fasa ke Tanah

Fault Node	Recloser (s)		Fuse	Kondisi	
	Cepat	Lambat	Minimum Melting	Total Clearing	TCOHGISI
826	0,0859	0,498	0,213	0,279	Baik
856	0,121	0,772	0,371	0,479	Baik
864	0,137	0,902	0,446	0,575	Baik
840	0,149	0,988	0,501	0,642	Baik
388	0,155	1,03	0,525	0,673	Baik

#### V. KESIMPULAN

Single line diagram IEEE 34 node test feeder pada perangkat lunak ETAP 12.6.0 telah disimulasikan dengan baik serta telah divalidasi dan dapat digunakan untuk simulasi berkelanjutan dengan nilai rata-rata error sebesar 2.3% pada load flow analysis. Fuzzy Mamdani memberikan nilai justifikasi yang luas serta efisien untuk menentukan nilai TMS pada recloser yang akan disetting dengan error waktu kerja operasi perbandingan perhitungan konvensional dengan simulasi dari Matlab sebesar 14,52% untuk bagian OCR dan 12,72% untuk bagian GFR. Penggunaan metode fuzzy mamdani dalam melakukan menentukan nilai setting TMS recloser pada koordinasi proteksi recloser dan fuse menghasilkan koordinasi yang baik saat terjadi gangguan hubung singkat 3 fasa sebagaimana hasil simulasi dari Star Protective Device ETAP 12.6.0 dengan kurva recloser cepat (A-instantaneous recloser curve) memotong kurva fuse (fuse curve) dan membentuk titik perpotongan C minimum melting dengan  $t(I_{Fuseminimummelting}) >$ t(I<sub>Reclosercepat</sub>) serta perpotongan waktu kurva lambat recloser (Btime delay reclosercurve) dengan kurva fuse (fuse curve) yang membentuk titik perpotongan total clearing dengan  $t(I_{Recloserlambat}) > t(I_{Fusetotalclearing}).$ 

### DAFTAR PUSTAKA

- [1] A. A. Solikah and B. Bramastia, "Systematic Literature Review: Kajian Potensi dan Pemanfaatan Sumber Daya Energi Baru dan Terbarukan Di Indonesia," *J. Energi Baru dan Terbarukan*, vol. 5, no. 1, pp. 27–43, 2024.
- [2] M. Erlangga and others, "Usulan Perencanaan Perawatan Mesin dengan Metode Reliability Centered Maintenance (Rcm) dan Age Replacement pada Mesin Raking Intake (Studi Kasus: Pt. Xyz)," Universitas Islam Indonesia, 2023.
- [3] A. Fernanda, "Implementasi Logika *Fuzzy* Metode Mamdani Pada Sistem Koordinasi Rele Arus Lebih," Universitas Mercu Buana Jakarta, 2021.
- [4] I. Setiwan, "Analisis koordinasi recloser dan *fuse* cut out (FCO) pada penyulang apel di PLN rayon Toboali," Universitas Bangka Belitung, 2017.
- [5] A. Yazdaninejadi and H. Ebrahimi, "A new protection algorithm for tackling the impact of fault-resistance and cloud energy storage on coordination of recloser-*fuse* protection," *IET Gener. Transm. Distrib.*, vol. 17, no. 8, pp. 1827–1835, 2023, doi: 10.1049/gtd2.12691.
- [6] R. Pereira, R. C. D. De Lima, H. D. M. Braz, N. S. D. Brito, P. H. F. Monteiro, and J. P. N. Amoah, "Reclosers Modeling for Temporal Simulation of Distribution Networks in Simulink/ Matlab," *IEEE Lat. Am. Trans.*, vol. 22, no. 7, pp. 591–600, 2024, doi: 10.1109/TLA.2024.10562260.

- [7] Y. M. Makwana, B. R. Bhalja, and R. Gokaraju, "Improvement in Recloser-Fuse Coordination Technique Based on Modification Factor," *IEEE Syst. J.*, vol. 14, no. 2, pp. 2770–2779, 2020, doi: 10.1109/JSYST.2019.2921840.
- [8] Wijaya Kusuma, Ahmad Hermawan, Aulia Nur Rahma, Muhammad Ilham Rifqi, R. Duanaputri, and R. Duanaputri, "Analisis Perencanaan Pemasangan Recloser pada Penyulang untuk Meminamilisr Pemadaman," *ELPOSYS J. Sist. Kelistrikan*, vol. 8, no. 3, pp. 76–80, 2021, doi: 10.33795/elposys.v8i3.83.
- [9] T. D. Salam and G. Wiyono, "Analisis Koordinasi Proteksi Ocr Dan Gfr Untuk Mengatasi Gangguan Hubungsingkat Pada Transformator Daya Di Gardu Induk ...," Semin. Nas. Tek. Elektro, vol. 1, pp. 30–38, 2023, [Online]. Available: https://snte.fortei.org/list/index.php/snte/article/view/10
- [10] W. F. Galla, A. S. Sampeallo, J. I. Daris, and others, "Analisis Gangguan Hubung Singkat Pada Saluran Udara 20 Kv Di Penyulang Naioni Pt. Pln (Persero) Ulp Kupang Untuk Menentukan Kapasitas Pemutusan *Fuse* Cut Out Menggunakan Etap 12.6," *J. Media Elektro*, pp. 101–111, 2020.
- [11] W. N. Rumbaman, H. Purnama, and S. Supriyanto, "Studi Koordinasi Proteksi Recloser *Fuse* Pada Jaringan IEEE 34 Node Menggunakan ETAP," in *Prosiding Industrial Research Workshop and National Seminar*, 2021, pp. 452–457.
- [12] S. T. Galang Persada Nurani Hakim, I. D. Septiyana, S. T. Ahmad Firdausi, F. R. I. Mariati, I. S. Budiyanto, and others, *SISTEM FUZZY: Panduan Lengkap Aplikatif*. Penerbit Andi, 2021.
- [13] A. E. C. Momesso, W. M. S. Bernardes, and E. N. Asada, "Fuzzy adaptive setting for time-current-voltage based overcurrent relays in distribution systems," Int. J. Electr. Power Energy Syst., vol. 108, no. August 2018, pp. 135–144, 2019, doi: 10.1016/j.ijepes.2018.12.035.
- [14] I. Sakti, "Methodology of Fuzzy Logic," 2014 1st Int. Conf. Inf. Technol. Comput. Electr. Eng., pp. 93–98, 2014.
- [15] A. J. Rindengan and Y. A. R. Langi, "Sistem *Fuzzy*," *Bandung CV. Patra Media Graf.*, 2019.